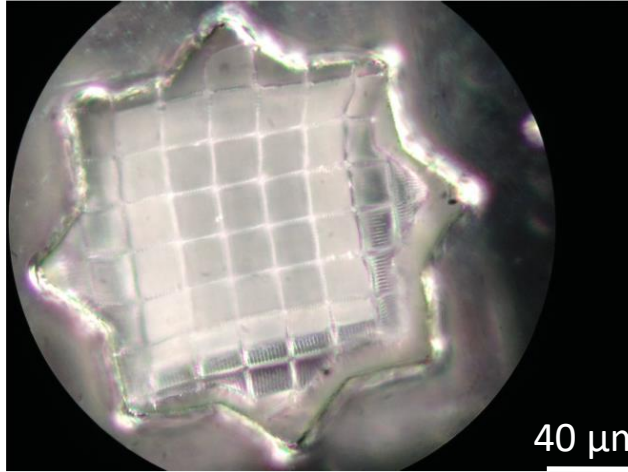
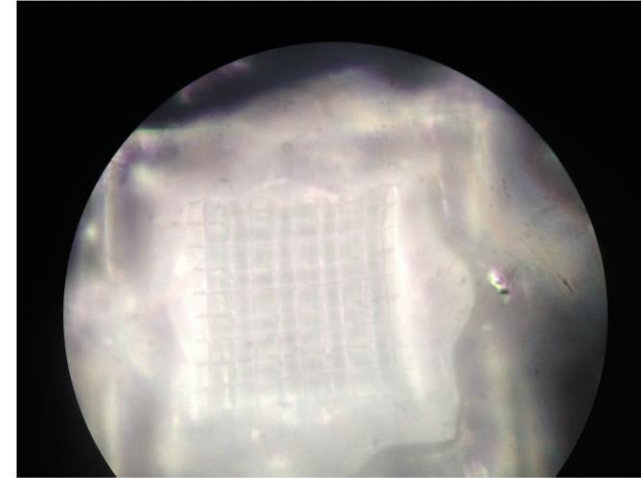


T1.1 Polymere für Zellträger-Strukturen

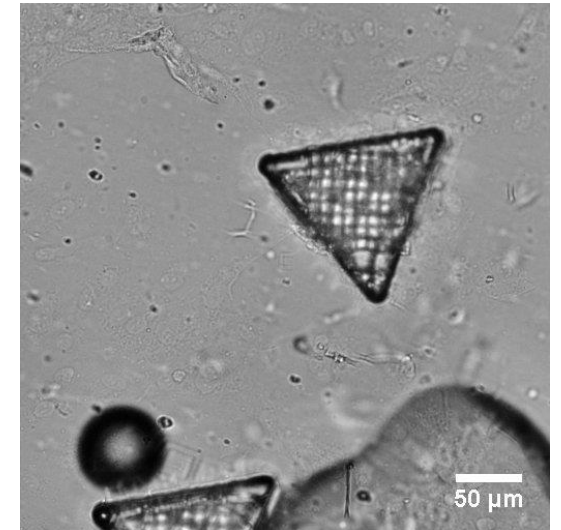
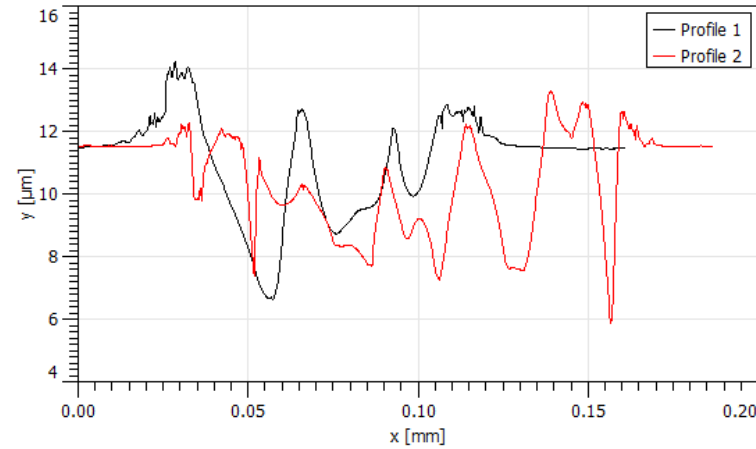
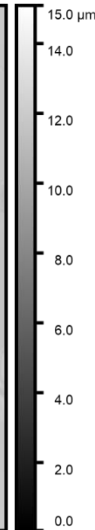
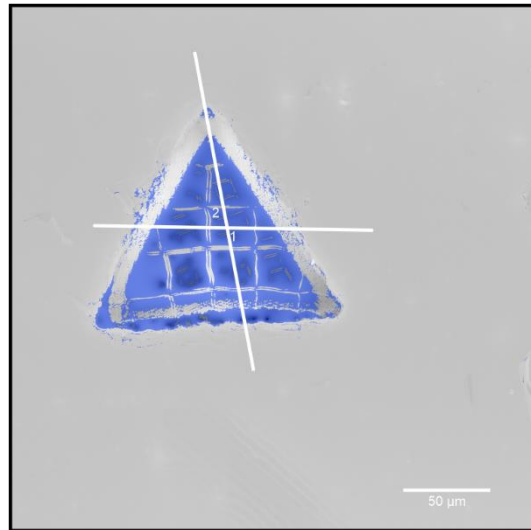
Oberseite



Unterseite



3D Zellträgerstruktur aus einem biokompatiblen Polymer

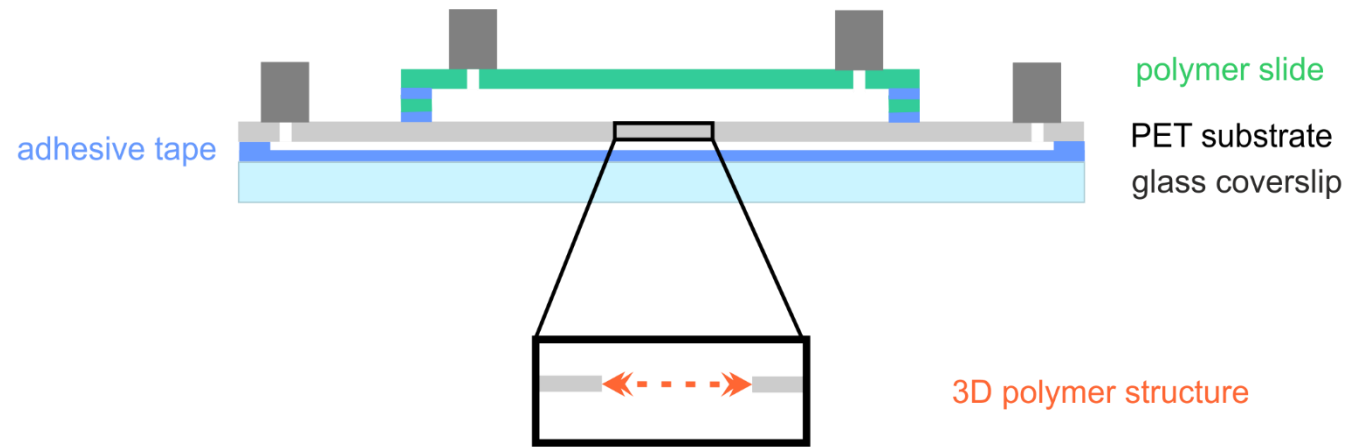


Links: 3D Zellträgerstruktur aus einem biokompatiblen Polymer

Mitte: Profil der Zellträgerstruktur

Rechts: 3D Zellträgerstruktur bewachsen mit Zellen

T2.1 Mikrofluidik für Zellträgerstrukturen

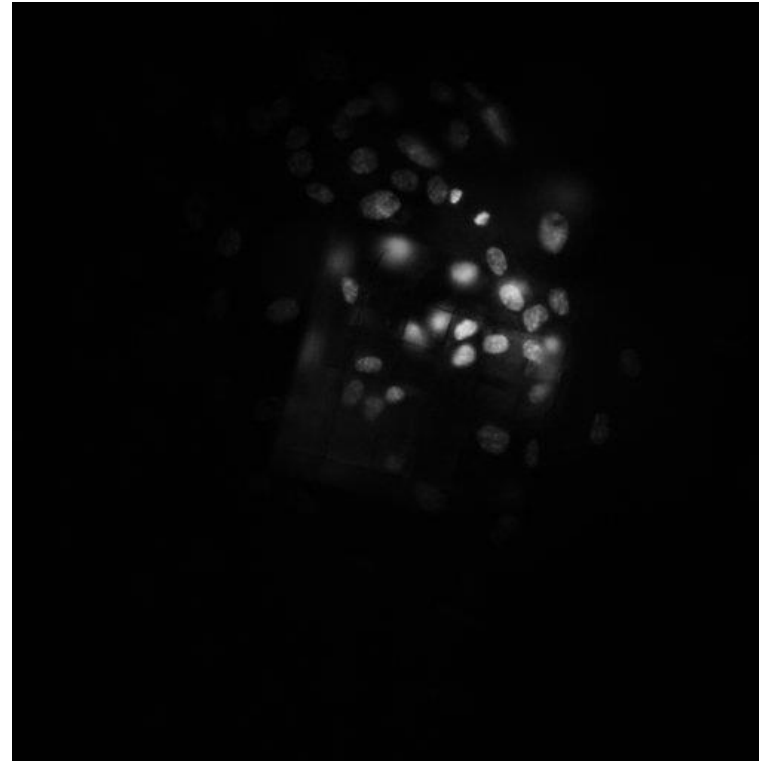
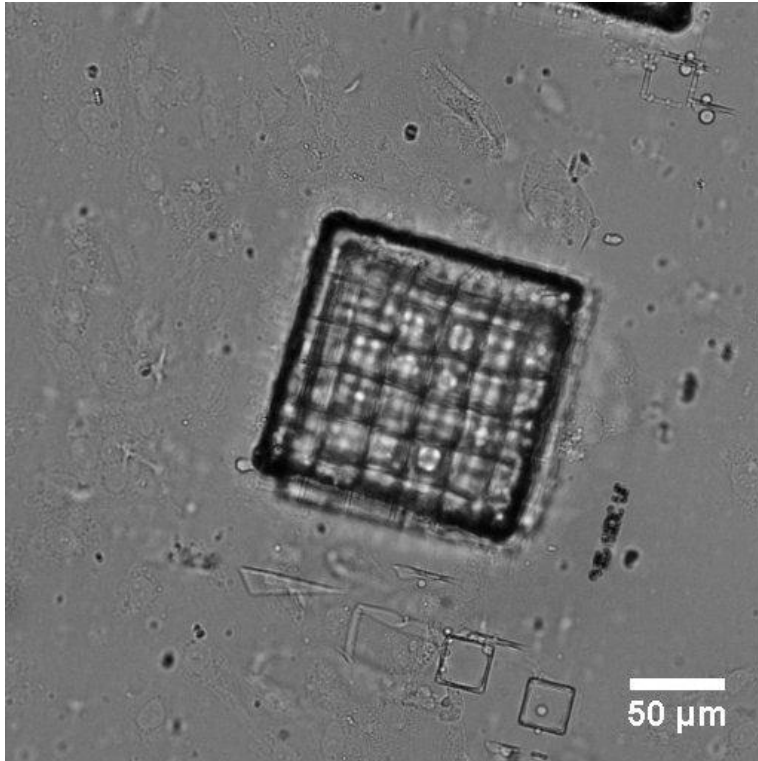


Schema der entwickelten Mikrofluidik-Plattform

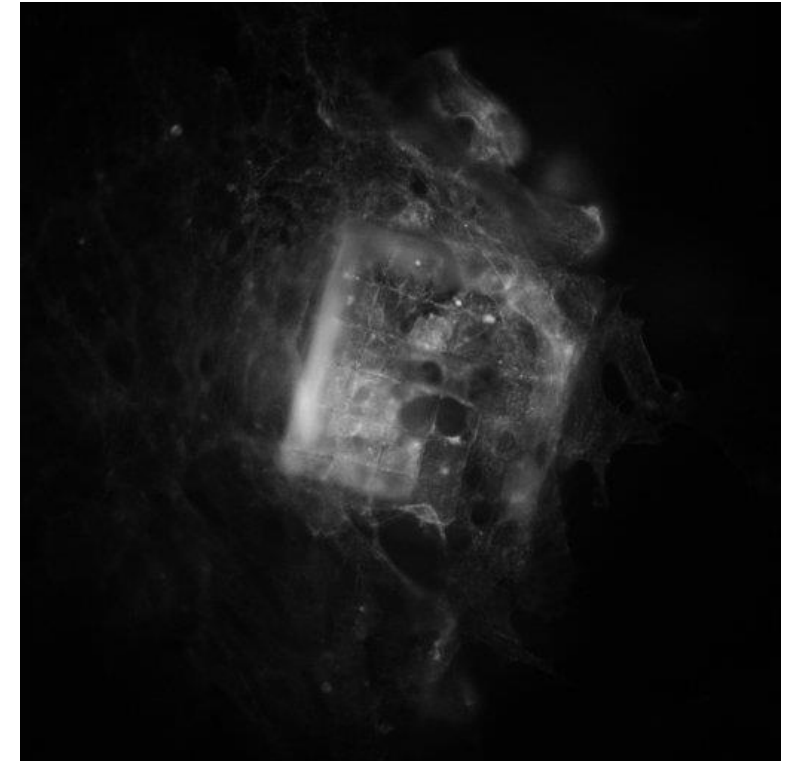


Mikrofluidik-Plattform

T3.1 Aufbau eines Baukastensystems zur Herstellung eines künstlichen Blutgefäßes



Sytox Green



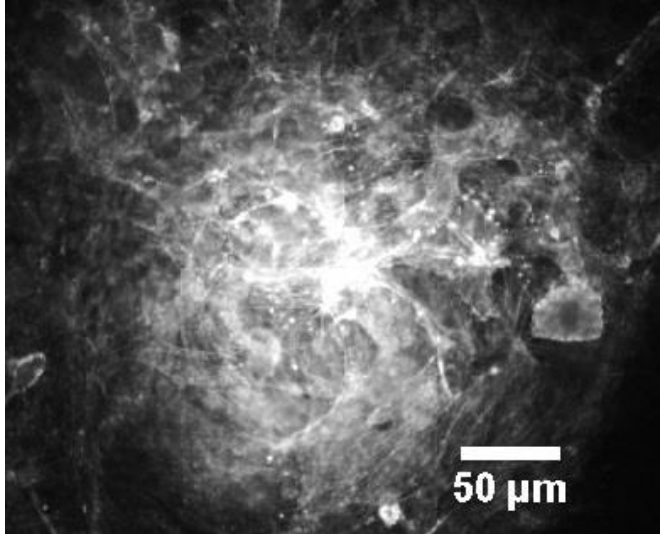
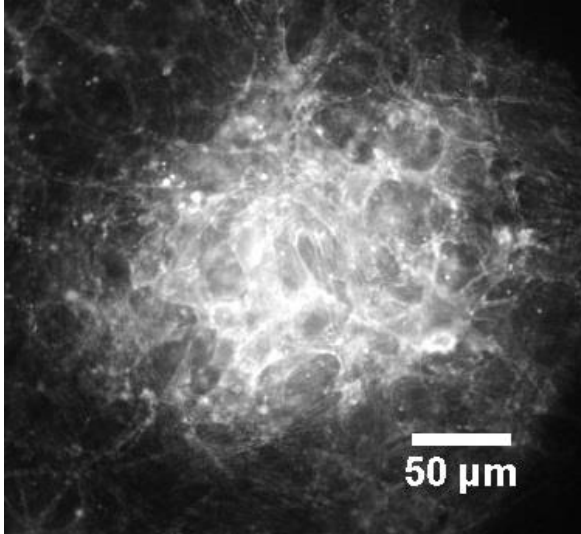
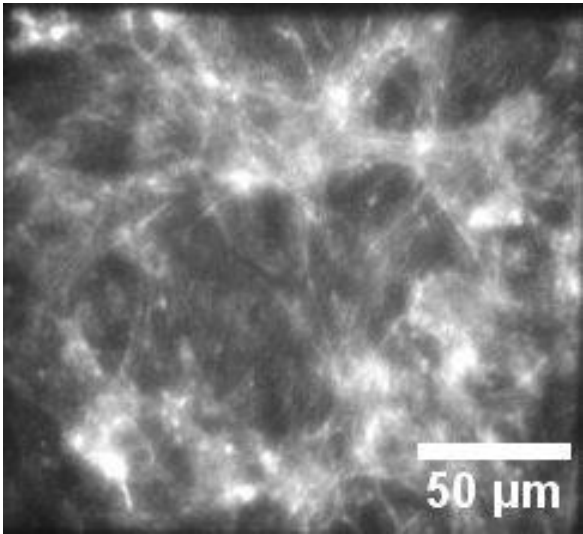
Phalloidin Alexa647

Links: 3D Zellträgerstruktur bewachsen mit HUVEC-Zellen

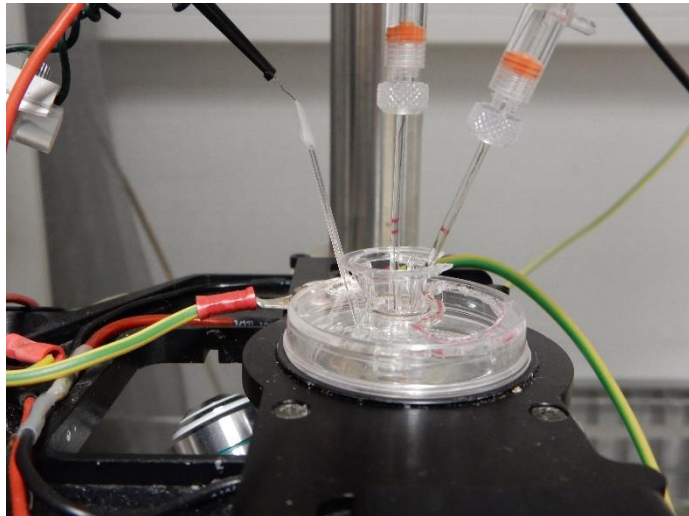
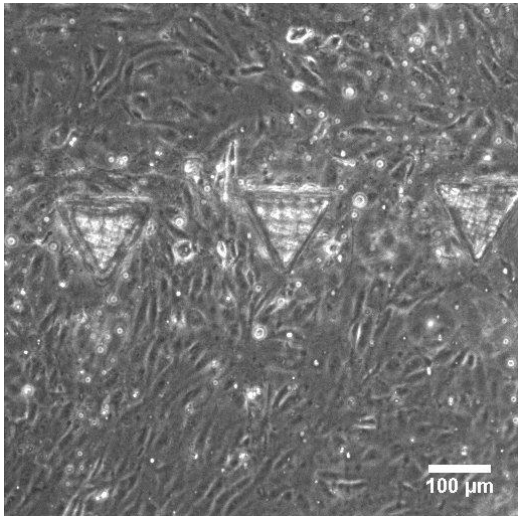
Mitte: Fluoreszenzmikroskopie-Aufnahme der Zellkerne von HUVEC-Zellen auf der Zellträgerstruktur

Rechts: Fluoreszenzmikroskopie-Aufnahme der Zytoskeletes von HUVEC-Zellen auf der Zellträgerstruktur

T4.1 Arteriosklerose/ Viren-Studien



Test von Zellwachstum an verschiedenen Membranen



Adaptierung von Elektrophysiologischen Messungen in modifiziertem Transwell-System